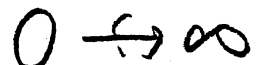


# Existence of a finite depth subfactor conjectured by Haagerup

浅枝雅子 (ASAEDA, Masako)  
(東大数理)



## 1 Introduction

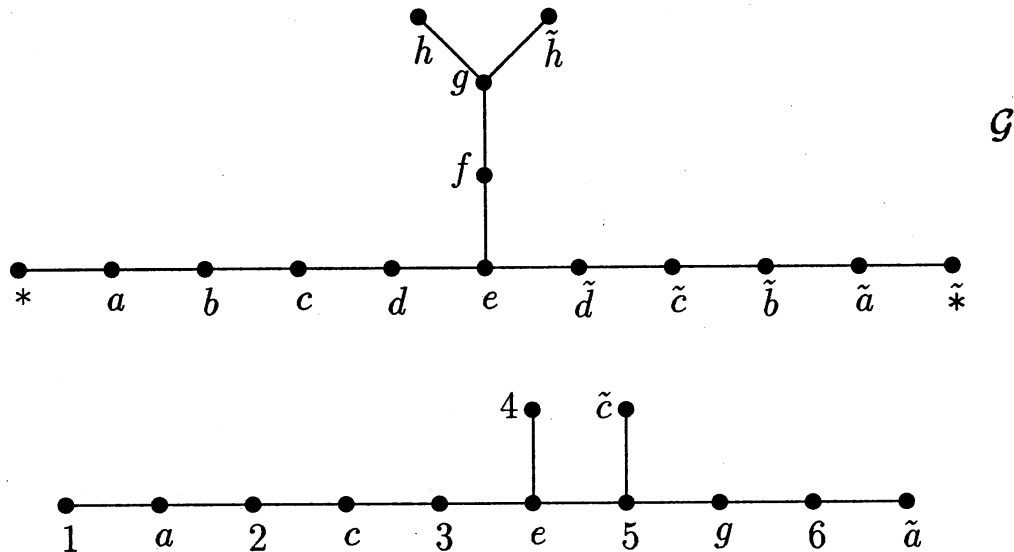
Index が 4 以下の AFD  $\text{II}_1$  subfactor は, Jones, Ocneanu, Popa, 河東, 泉らの研究により, (拡張)Dynkin 図形をもちいた完全分類がなされている. 一方 index が 4 を越える既約な finite depth の AFD  $\text{II}_1$  subfactor については、量子群や有限群から構成されるものや, Goodman-de la Harpe-Jones subfactor ([GHJ]) は以前から知られていたが、それらの index は離散的であり、隙間の値が index として実現されるのかどうかという問題が注目されてきた. 1991年, Haagerup は index が  $3 + \sqrt{3}$  未満の場合について, subfactor の principal graph として実現される可能性のあるグラフ 4 種類のリストを与えた ([H]). 彼は初め、それらは全て実現される、と予想した. その時点では、そのうち  $n$  によって parametrize されるシリーズ物 ([H] の p.36 (2) のグラフ) の  $n = 3$  の場合について、彼自身による証明が与えられていたが、それ以降 5 年間、それ以外の候補についての実現は全く不明であった. 1996年, Bisch によって、リストのうちの別のシリーズ物 ([H] の (4) のグラフ) は実現されないことが簡単な fusion rule により証明されてしまい ([B]), また例外型とよばれるグラフ (3) (下図, Figure 1), シリーズ (2) の  $n = 7$  の場合については、池田による connection の flatness の数値的近似計算によって、「ほぼ確実」に実現することがわかった. ([Ik])

この講演では、上記の例外型グラフ ([H] の (2) のグラフ) が、index  $(5 + \sqrt{17})/2$  の既約な AFD  $\text{II}_1$  subfactor の principal graph として実現されることの証明の概略を紹介する. この subfactor は量子群などからは構成できない、今のところ最も不可思議な subfactor である. この証明は筆者と Haagerup 先生<sup>1</sup>との共同研究によるものであり、共著論文 [AH] として近日中に発表

<sup>1</sup>Denmark, Odense 大学教授

される予定である。

Figure 1: Haagerup によるグラフのリストの (3)



## 2 Haagerup による Main Lemma

Figure 1 から成る four graphs の上の biunitary connection  $\alpha$  は Haagerup により一意的に求められている。([Ik], [AH]) このグラフ達の Perron-Frobenius 固有値は  $\beta = \sqrt{(5 + \sqrt{17})}/2$  であるので、 $\alpha$  をもちいた string algebra construction によって index  $(5 + \sqrt{17})/2$  を持つ AFD  $II_1$  subfactor が生じる。そこで問題になるのは、その subfactor の (dual) principal graph が果たして再び Figure 1 になるのかどうかである。Haagerup は、このグラフのペアが (dual) principal graph であると仮定した場合の、上方のグラフの頂点に対応する bimodule の関係を調べることによって、次の補題を得た。

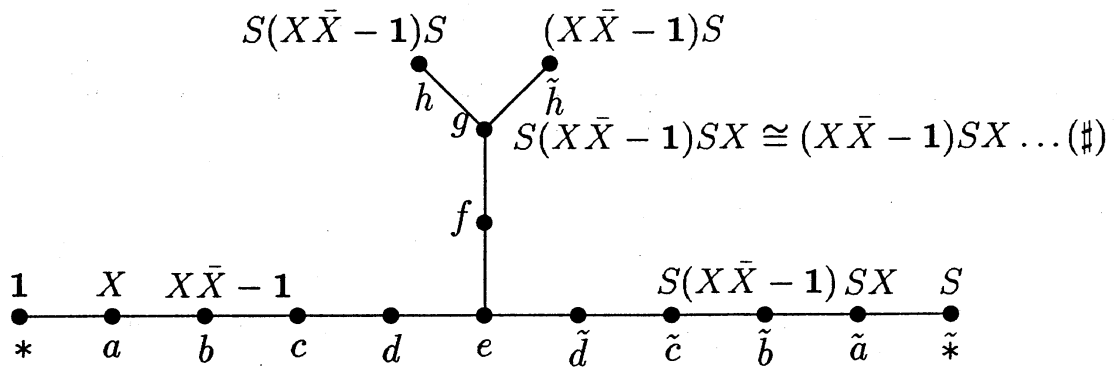
**Lemma 1 (U. Haagerup)**  $N$  と  $M$  を  $II_1$  factor,  $X$  を既約な  $N$ - $M$  bimodule とする。このとき、もし互いに同型でない既約な  $N$ - $N$  bimodules  $Y, Z$  で

$${}_N Y \otimes_N X_M \cong {}_N Z \otimes_N X_M,$$

となるようなものが存在すれば、 $X$  の principal graph は Figure 1 の  $G$  になる。

ここで,  $X$  の principal graph とは,  $M$  の  $\mathcal{B}(X)$  における  $N$  との higher relative commutant から生じる principal graph を意味する. これは同時に  ${}_N X_M$  の相対テンソル積による fusion を記述するものとなる. 我々の知りたいのは connection  $\alpha$  から生じる subfactor  $N \subset M$  の principal graph, つまり  ${}_N M_M$  の principal graph であるから, 上の Lemma の  ${}_N X_M$  には  ${}_N M_M$  が対応するものと考えられる. それでは  $Y, Z$  には何が対応するのだろうか.

Figure 1 の  $\mathcal{G}$  が  $N \subset M$  の principal graph であると想定して頂点に対応する bimodule の関係の一部をみてみよう.



ここで,  $1 = {}_N N_N$ ,  $X = {}_N M_M$ ,  $S$  は index 1 で  $S \otimes S = 1$  となるような  $N - N$  bimodule だが, 正体は不明である. 相対テンソル積の記号は書くのを省略した. また, 頂点  $\bar{b}, \bar{h}$  に対応する bimodule が互いに condtagradient であること,  $b, \bar{b}, h, \bar{h}$  に対応する bimodule の index が全て等しいことに注意する. (これは, このグラフの Perron-Frobenius 固有ベクトルの各点における値が全て等しいからである.)

頂点  $g$  に対応する bimodule に注目しよう. ここは頂点  $h, \bar{h}$  それぞれに対応する bimodule に  $X$  をテンソル積したものが対応する. よって, もしこのグラフが本当に  $N \subset M$  の principal graph であれば, bimodule の関係式 (♯) が成り立っているはずである. ここで先の補題をよくみてみると,  $Y \leftrightarrow S(X\bar{X} - 1)S$ ,  $Z \leftrightarrow (\bar{X}\bar{X} - 1)S$  と対応しているのではないかという気がしてくる. 今回の我々の目標としている証明には直接つかわないのだが, 実は index  $(5 + \sqrt{17})/2$  をもつ既約な AFD II<sub>1</sub> subfactor の principal graph は, このグラフか Dynkin 図形の  $A_\infty$ . しかしながら Haagerup によって証明されているので,  $A_\infty$  でないことを言えばこのグラフが principal graph であることが証明できるのであるが, 上の bimodule の関係式はグラフが分岐していることをあらわしており,  $A_\infty$  でないことを示唆するものであると思える.

### 3 Biunitary connection から構成される bimodule

ここで、今までの推論が、Figure 1 の  $G$  が principal graph であることを仮定した上でのものであって、bimodule も、 $X$  は  $NM_M$  を対応させておくにしても、 $S$  には具体的にどういう bimodule を対応させたらいいのかわからないし、仮になにか具体的な bimodule を考えたとしても、関係式  $S(X\bar{X} - 1)SX \cong (X\bar{X} - 1)SX$  を証明するやり方はわからないので、困ってしまう。そこで、Ocneanu の *open string bimodule* というものを考えよう。これは、biunitary connection から bimodule を構成する方法である。これで、2つの connection から構成した bimodule たちの直和、相対テンソル積は、もとの connection の「和」、「積」から得られる。ここで、connection  $\alpha$ ,  $\beta$  の和、積は、

$$(\alpha + \beta)(m \begin{smallmatrix} k \\ l \end{smallmatrix} n) = \begin{cases} \alpha(m \begin{smallmatrix} k \\ l \end{smallmatrix} n), & \text{if both } m, n \text{ are edges appearing in } \alpha, \\ \beta(m \begin{smallmatrix} k \\ l \end{smallmatrix} n), & \text{if both } m, n \text{ are edges appearing in } \beta, \\ 0, & \text{otherwise.} \end{cases}$$

$$(\alpha\beta)(n \begin{smallmatrix} k \\ m \end{smallmatrix} o) = \sum_l \alpha(n_1 \begin{smallmatrix} k \\ l \end{smallmatrix} o_1) \beta(n_2 \begin{smallmatrix} l \\ m \end{smallmatrix} o_2),$$

で与えられ、具体的に計算できる。ただしここで  $n_1, n_2$  は、連結  $n_1 \cdot n_2$  が  $n$  になるような辺、 $o_1, o_2$  も同様である。(和の方に出てくる  $\beta$  は積の方のと定義がちがう。正確には、[AH], [S] を参照。) Bimodule の contragradient map は connection の renormalization で与えられ、既約性は connection の(和としての)分解不能性で与えられる。さらに、実はこの connection から bimodule への対応は、单射であることもわかる。

この対応によって、bimodule  $NM_M = X$  は connection  $\alpha$  (一番はじめにでてきた、Figure 1 からなる four graphs の上の unique な biunitary connection)

から構成されることがわかる。関係式  $(\#)$  の bimodule を connection で書いてみよう。まず、 $X\bar{X}$  は  $\alpha\tilde{\alpha}$  と書ける。bimodule  $\mathbf{1} = {}_N N_N$  は connection

$$\mathbf{1} \left( \begin{array}{cc} p & q \\ r & s \end{array} \right) = \delta_{p,r} \delta_{q,s},$$

( $p, q, r, s$  は、Figure 1  $\mathcal{G}$  の頂点) 即ち、trivial なうめこみを与える connection から構成される。すると、 $X\bar{X} - \mathbf{1}$  に対応する connection  $\alpha\tilde{\alpha} - \mathbf{1}$  は、 $\alpha\tilde{\alpha}$  の gauge choice を適切に選んで、connection 行列の trivial なうめこみに対応する成分が 1 になるようにし、それを差し引くことで得られる。次に問題になるのは、 $S$  をどうするかであるが、上の推論のように、 $S$  は index 1,  $S \otimes S = \mathbf{1}$  となるような bimodule だと思うのが自然なので、そのようなもので connection から構成されるものはないか、と考えてみると、次のような connection が考えられる。

$$\sigma \left( \begin{array}{cc} p & q \\ r & s \end{array} \right) = \delta_{p,\tilde{r}} \delta_{q,\tilde{s}},$$

この connection は、 $\mathcal{G}$  の線対称移動によって導かれる  $\text{II}_1$  factor の位数 2 の自己同型をあたえるものである。そして、この connection を右(左)からかけるという演算は、かけられる方の connection の下(上)の頂点を  $p \leftrightarrow \tilde{p}$  のようにつけ加えることを意味する。こうして、正体不明な bimodule の関係式

$$(\#) \quad S(X\bar{X} - \mathbf{1})SX \cong (X\bar{X} - \mathbf{1})SX$$

に対して、connection の関係式

$$(\#') \quad \sigma(\alpha\tilde{\alpha} - \mathbf{1})\sigma\alpha \stackrel{?}{\cong} (\alpha\tilde{\alpha} - \mathbf{1})\sigma\alpha$$

が得られたわけだが、なんども注意しているようにこれまでの推論によって  $(\#')$  が成立する根拠が与えられている訳では全くない。しかし、connection という具体的に計算可能なものによって記述されているので、我々は  $(\#)$  を証明することができる。実際、筆者はこれを証明した。

**Theorem 1 (M. Asaeda)** Connection  $\alpha$  を, Figure 1 のグラフからなる four graphs,  $\sigma$  を上で定義したものとすると,  $\sigma(\alpha\tilde{\alpha}-1)\sigma$ ,  $(\alpha\tilde{\alpha}-1)\sigma$  は, 互いに同型でない分解不能な connection で, さらに

$$(\#) \quad \sigma(\alpha\tilde{\alpha}-1)\sigma\alpha \cong (\alpha\tilde{\alpha}-1)\sigma\alpha$$

が成立する. つまり, グラフ  $\mathcal{G}$  は subfactor  $N \subset M$  の principal graph として実現される.

### 証明の概略

まず, 前半のうち,  $\sigma(\alpha\tilde{\alpha}-1)\sigma$ ,  $(\alpha\tilde{\alpha}-1)\sigma$  の分解不能性を示す. これには,  $\alpha\tilde{\alpha}-1$  の分解不能性を示せばいいが, bimodule に言い換えると,  ${}_N M \otimes_M M_N$  が,  $1$  ともうひとつの既約な bimodule に分解されることを言えばよい. それは,  $\text{End}({}_N M \otimes_M M_N)$  が  $C$  と全行列環に分解されることと同値である.  $N \subset M \subset M_1 \subset \dots$  を basic construction とすると,

$$\text{End}({}_N M \otimes_M M_N) \cong N' \cap M_1$$

である. グラフ  $\mathcal{G}$  の頂点  $*$  から  $d$  まで分岐がないことから,

$$\text{String}_*^{(2)} \mathcal{G} = C \oplus C.$$

Ocneanu の compactness argument ([O], [EK]) より,

$$\text{String}_*^{(2)} \mathcal{G} \supset N' \cap M_1$$

なので,  $\text{End}({}_N M \otimes_M M_N) = C \oplus C$  がわかり,  ${}_N M \otimes_M M_N$  が,  $1$  ともうひとつの既約な bimodule に分解されることが言える.

$\sigma(\alpha\tilde{\alpha}-1)\sigma$ ,  $(\alpha\tilde{\alpha}-1)\sigma$  が互いに同型でないことは, 積の connection の graph から, 両者の connection 行列のサイズが異なることがわかり, それから両者の同型をあたえる gauge matrix たちがとれないことがわかる.

メインの (#) の証明は, まず右辺の connection 行列を求めて, それらのなかで,  $\sigma$  の左作用, つまり connection の上側の頂点のとりかえによってうつりあうもの同士が gauge choice でうつりあうことを確認する. 証明は大変長いのでここでは書かないが, 以下のような計算を 20 回くらいする. ([AH])

$$\begin{aligned} {}^e \square_g \sim &= \begin{pmatrix} u \binom{e}{5}_{4,l} & \\ & 1 \end{pmatrix} {}^e \square_g \begin{pmatrix} u \binom{d}{g}_{2,r} & \\ & u \binom{d}{g}_{2,r} \\ & & 1 \end{pmatrix} \\ &= \begin{pmatrix} u \binom{e}{5}_{4,l} & \\ & 1 \end{pmatrix} \times \end{aligned}$$

$$\begin{pmatrix} \frac{(\beta^2-2)^3}{2\beta^4\sqrt{2(\beta^4+4)}} & \frac{-\sqrt{2}(\beta^2-2)}{\beta^2\sqrt{(\beta^2-1)(\beta^4+4)}} & \frac{\beta^2(\beta^2-2)}{(\beta^2-1)\sqrt{2(\beta^4+4)}} & \frac{\sqrt{\beta^2(\beta^2-2)}}{\sqrt{\beta^4+4}} & \frac{\sqrt{2}\beta^2}{\sqrt{(\beta^2+1)(\beta^4+4)}} \\ \frac{-(\beta^2-2)}{\sqrt{2(\beta^4+4)}} & \frac{\sqrt{2(\beta^2-1)}}{\sqrt{\beta^4+4}} & \frac{-\sqrt{2}(\beta^2-2)}{(\beta^2-1)\sqrt{\beta^4+4}} & \frac{-2\sqrt{\beta^2-2}}{\sqrt{\beta^2(\beta^4+4)}} & \frac{\sqrt{2(\beta^2+1)}}{\sqrt{\beta^4+4}} \\ \frac{\sqrt{\beta^2+1}}{2\beta^2-1} & \frac{\sqrt{\beta^2-2}}{2\beta^2-1} & 0 & 0 & 0 \\ \frac{\sqrt{\beta^2-2}}{2(\beta^2-1)} & \frac{-1}{\sqrt{2\beta^2}} & \frac{\beta^2-2}{\sqrt{\beta^4-1}} & \frac{\sqrt{2}}{\beta} & \frac{1}{2\sqrt{\beta^2-1}} \\ \frac{-(\beta^2-2)}{2(\beta^2-1)} & \frac{1}{\sqrt{\beta^2-1}} & \frac{\sqrt{2\beta^2-1}}{\sqrt{\beta^4-1}} & 0 & \frac{-1}{\sqrt{\beta^2+1}} \end{pmatrix},$$

$$= \begin{pmatrix} u\left(\begin{smallmatrix} e \\ 5 \end{smallmatrix}\right)_{4,l} & & & & \\ & 1 & & & \\ & & \frac{2(\beta^2-2)}{\beta^4+4} & \frac{2(\beta^2+4)}{\beta^4+4} & \frac{-\sqrt{\beta^2(\beta^2-2)}}{\sqrt{\beta^4+4}} & \frac{-2}{\sqrt{\beta^2(\beta^2-1)(\beta^4+4)}} & 0 \\ & & \frac{2(\beta^2+4)}{\beta^4+4} & \frac{\beta^2}{\beta^4+4} & \frac{2\beta}{\sqrt{(2\beta^2-1)(\beta^4+4)}} & \frac{(\beta^2-1)\sqrt{\beta^2-1}}{\sqrt{\beta^2(\beta^4+4)}} & 0 \\ & & \frac{-\sqrt{\beta^2(\beta^2-2)}}{\sqrt{\beta^4+4}} & \frac{2\beta}{\sqrt{(2\beta^2-1)(\beta^4+4)}} & 0 & \frac{\sqrt{2}}{\beta} & 0 \\ & & \frac{-2}{\sqrt{\beta^2(\beta^2-1)(\beta^4+4)}} & \frac{(\beta^2-1)\sqrt{\beta^2-1}}{\sqrt{\beta^2(\beta^4+4)}} & \frac{\sqrt{2}}{\beta} & \frac{-1}{\beta^2-2} & 0 \\ & & 0 & 0 & 0 & 0 & 1 \end{pmatrix}.$$

$u\left(\begin{smallmatrix} e \\ 5 \end{smallmatrix}\right)_{4,l}$  というのは、4重辺  $e-5$  に対応する gauge 行列のことである。その他定義していない記号はあるが、[AH] に全て正しく書いた。以上のように定理は証明された。

## References

- [AH] M. Asaeda, U. Haagerup An exotic subfactor of finite depth with index  $(5 + \sqrt{17})/2$ , (1997), in preparation.
- [B] D. Bisch, Principal graphs of subfactors with small index, *preprint*, (1997).
- [EK] D. E. Evans & Y. Kawahigashi, (to appear), Quantum symmetries on operator algebras, (book manuscript).
- [GHJ] F. Goodman, P. de la Harpe, & V. F. R. Jones, “Coxeter graphs and towers of algebras”, MSRI publications **14**, Springer, (1989).
- [H] U. Haagerup, Principal graphs of subfactors in the index range  $4 < [M : N] < 3 + \sqrt{2}$ , Subfactors, World Scientific, (1994), 1–38.
- [Ik] K. Ikeda Numerical evidence for flatness of Haagerup’s connections. preprint, (1996)
- [O] A. Ocneanu, Quantum symmetry, differential geometry of finite graphs and classification of subfactors, Univ. of Tokyo Seminary Note **45**, (recorded by Y. Kawahigashi), (1991).
- [S] N. Sato, Two subfactors arising from a non-degenerate commuting square II —tensor categories and TQFT’s— 京大数理研講究録, vol **977**, (1997), 6–12.